

УДК 539.374

## ВВИНЧИВАНИЕ ЖЕСТКОГО ЦИЛИНДРИЧЕСКОГО ТЕЛА В ПЛАСТИЧЕСКИ АНИЗОТРОПНУЮ ТРУБУ

АКОПЯН Г. А.

Рассматривается соосное внедрение с одновременным вращением вокруг своей оси жесткого цилиндрического тела в анизотропную, идеально-жестко-пластическую трубу, материал которой подчиняется соотношениям Мизеса-Хилла [1]. Подобная картина пластического деформирования встречается при клинопрессовой сварке разнородных труб [2]. Технологическая схема такого рода сварки представляет собой предварительный нагрев и соосное впрессовывание трубы из более твердого материала с монотонно возрастающим по оси внешним диаметром в трубу из более мягкого материала, помещенную в плотную недеформируемую цилиндрическую прессформу. Процесс соединения материалов происходит в твердой фазе, причем физический контакт образуется за счет пластической деформации более мягкого материала, вызывающей пластические деформации в приповерхностном весьма тонком слое трубы из более твердого материала. Заметных объемных формоизменений этой трубы в процессе впрессовывания не наблюдается.

*§1. Основные уравнения задачи.* 1. Общие соотношения теории анизотропного идеального жестко-пластического течения в цилиндрических координатах в обычных обозначениях имеют вид:

дифференциальные уравнения равновесия

$$\begin{aligned} \frac{\partial \tau_r}{\partial r} + \frac{1}{r} \frac{\partial \tau_{r\theta}}{\partial \theta} + \frac{\partial \tau_{rz}}{\partial z} + \frac{\sigma_r - \sigma_\theta}{r} &= 0 \\ \frac{\partial \tau_{r\theta}}{\partial r} + \frac{1}{r} \frac{\partial \tau_{\theta\theta}}{\partial \theta} + \frac{\partial \tau_{\theta z}}{\partial z} + \frac{2\tau_{r\theta}}{r} &= 0 \\ \frac{\partial \tau_{rz}}{\partial r} + \frac{1}{r} \frac{\partial \tau_{\theta z}}{\partial \theta} + \frac{\partial \tau_{zz}}{\partial z} + \frac{\tau_{rz}}{r} &= 0 \end{aligned} \quad (1.1)$$

условие текучести Мизеса-Хилла

$$F_0(\sigma_r - \sigma_z)^2 + G_0(\sigma_z - \sigma_r)^2 + H_0(\sigma_r - \sigma_\theta)^2 + L_0\tau_{rz}^2 + M_0\tau_{\theta z}^2 + N_0\tau_{r\theta}^2 = 1 \quad (1.2)$$

зависимости между компонентами тензора скоростей деформаций, скоростей перемещения и напряжений

$$\varepsilon_r = \frac{\partial u}{\partial r} = \Omega[\mathcal{H}_0(\sigma_r - \sigma_z) + G_0(\sigma_z - \sigma_r)]$$

$$\begin{aligned}
\varepsilon_0 &= \frac{u}{r} + \frac{1}{r} \frac{\partial v}{\partial \theta} = \Omega [F_0(z_0 - z_r) + H_0(z_0 - z_r)] \\
\varepsilon_z &= \frac{\partial w}{\partial z} = \Omega [F_0(z_0 - z_r) + G_0(z_0 - z_r)] \\
2\gamma_{rz} &= \frac{\partial v}{\partial r} - \frac{v}{r} + \frac{1}{r} \frac{\partial u}{\partial \theta} = N_0 \tau_{rz} \Omega \\
2\gamma_{rz} &= \frac{\partial v}{\partial z} + \frac{1}{r} \frac{\partial w}{\partial \theta} = L_0 \tau_{rz} \Omega \\
2\gamma_{rz} &= \frac{\partial u}{\partial z} + \frac{\partial w}{\partial r} = M_0 \tau_{rz} \Omega
\end{aligned} \tag{1.3}$$

2. Компоненты напряжений и скоростей перемещений можно представить через произвольные функции  $f(r)$  и  $\varphi(r)$  в следующем виде:

$$\begin{aligned}
z_r &= -2A - 2Bz - 2C\theta + \int_a^r \left[ 2\mu(F+G)\varphi' - \lambda \left( Ff' - G \frac{f}{r} \right) \right] \frac{\Omega_*}{r} dr \\
z_\theta &= z_r + \Omega_* \left[ 2\mu(F+G)\varphi' - \lambda \left( Ff' - G \frac{f}{r} \right) \right], \quad z_{rz} = C + \frac{D}{r^2} \\
z_z &= z_r + \Omega_* \left[ 2\mu F\varphi' - \lambda \left[ (F+H)f' + H \frac{f}{r} \right] \right], \quad z_{rz} = Br + \frac{E}{r} \\
z_{rz} &= 2L\Omega_* \left[ (\lambda f\varphi)' - \frac{\mu}{2r^2}(fr)' \right], \quad u = (\lambda f - 2\mu\varphi) \exp(\lambda z + \mu\theta) \\
v &= 2(r\varphi)' \exp(\lambda z + \mu\theta) + Kr, \quad w = -\frac{1}{r}(rf)' \exp(\lambda z + \mu\theta) + T
\end{aligned} \tag{1.4}$$

где  $\lambda, \mu, a$ —заданные постоянные;  $A, B, C, D, E, K, T$ —произвольные постоянные и введены обозначения

$$\begin{aligned}
\Omega_* &= \sqrt{1 - M_0 \tau_{rz}^2 + N_0 \tau_{rz}^2} \left\{ (G+F)(\lambda f' - 2\mu\varphi')^2 - 2G \frac{\lambda}{r} (\lambda f' - 2\mu\varphi')(rf)' + \right. \\
&\quad \left. + (H+G) \frac{\lambda^2}{r^2} (rf)^{\prime 2} + 4L \left[ \lambda(r\varphi)' - \frac{\mu}{2r^2}(rf)' \right]^2 \right\}^{-1/2} \\
F &= \frac{F_0}{\Delta}, \quad G = \frac{G_0}{\Delta}, \quad H = \frac{H_0}{\Delta}, \quad L = L_0^{-1}, \quad M = M_0^{-1}, \quad N = N_0^{-1} \\
\Delta &= F_0 G_0 + G_0 H_0 + H_0 F_0
\end{aligned}$$

Уравнения (1.4) будут решением системы уравнений (1.1)–(1.3), если функции  $f(r)$  и  $\varphi(r)$  удовлетворяют следующей системе обыкновенных дифференциальных уравнений:

$$f'' + \frac{f'}{r} - \frac{1+\lambda^2 r^2}{r^2} f + 2\mu\lambda\varphi + \frac{M_0 \tau_{rz}}{\sqrt{1 - M_0 \tau_{rz}^2 + N_0 \tau_{rz}^2}} \left\{ (G+F)(\lambda f' - 2\mu\varphi')^2 - \right.$$

$$\begin{aligned}
& -2G \frac{\lambda}{r} (\lambda f' - 2\mu \varphi') (rf)' + (G+H) \frac{\lambda^2}{r^2} (rf)^{\prime 2} + 4L \left[ i(r\varphi)' - \frac{\mu}{2r^2} (rf)' \right]^2 \Big\}^{1/2} = 0 \\
& \varphi'' + \frac{\varphi'}{r} - \frac{1+\mu^2}{r^2} \varphi + \frac{i\mu}{2r^2} f - \frac{N_0 \tau_{rz}}{2r \sqrt{1-M_0 \tau_{rz}^2 - N_0 \tau_{rz}^2}} \left\{ (G+F)(\lambda f' - 2\mu \varphi')^2 - \right. \\
& \left. - 2G \frac{\lambda}{r} (\lambda f' - 2\mu \varphi') (rf)' + (G+H) \frac{\lambda^2}{r^2} (rf)^{\prime 2} + 4L \left[ i(r\varphi)' - \frac{\mu}{2r^2} (rf)' \right]^2 \right\}^{1/2} = 0
\end{aligned} \tag{1.5}$$

Полученная система уравнений кроме своих постоянных содержит еще четыре произвольные постоянные, входящие в функции  $\tau_{rz}$  и  $\tau_{rz}$ . Характер течения пластической массы на граничных поверхностях тела определяет краевые условия для этой системы, а из условий, накладываемых на указанные касательные напряжения на этих поверхностях, находятся произвольные постоянные, содержащиеся в этих выражениях. Гидростатическая постоянная  $A$  определяется из условия равновесия тела в продольном направлении. Решение (1.4) может представлять, в частности, пространственное деформирование пластического материала между шероховатыми жесткими сближающимися поверхностями  $R = a_i \pm b_i \exp(i z + \mu \theta)$ , где  $a_i$  и  $b_i$  — положительные заданные постоянные.

3. В случае осесимметричного деформирования имеем  $C = \mu = 0$ . Вводя обозначение  $(rf)' = \psi(r)$ , для компонентов напряжений из (1.4) имеем

$$\begin{aligned}
\tau_r &= -2A - 2Bz - z \int_a^r \left( Ff' - G \frac{f}{r} \right) \omega dr, \quad z = \text{sign} \\
\tau_\theta &= \tau_r - z \left( Ff' - G \frac{f}{r} \right) \omega, \quad \tau_z = \tau_r - z \left[ (F+H)f' + H \frac{f}{r} \right] \omega \\
\tau_{\theta z} &= 2L\psi\omega, \quad \tau_{rz} = \frac{D}{r^2}, \quad \tau_{zz} = Br + \frac{E}{r}
\end{aligned} \tag{1.6}$$

где обозначено

$$\omega = \frac{\sqrt{1-M_0 \tau_{rz}^2 - N_0 \tau_{rz}^2}}{\sqrt{(F+H)f'^2 + 2H \frac{f'f}{r} + (G+H) \frac{f^2}{r^2} + 4L\psi^2}} \tag{1.7}$$

Компоненты скоростей перемещений

$$u = \psi \exp(i z), \quad v = Kr + 2\psi \exp(i z), \quad w = -\frac{1}{r} (rf)' \exp(i z) + T \tag{1.8}$$

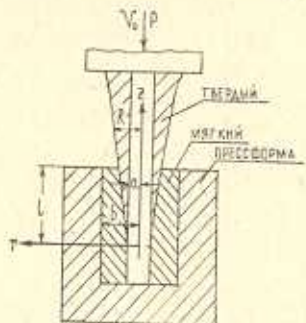
Вместо (1.5) будем иметь следующую систему дифференциальных уравнений:

$$f'' + \frac{f'}{r} - \frac{1+\lambda^2 r^2}{r^2} f + \frac{\omega M_0 \tau_{rz}}{\sqrt{1-M_0 \tau_{rz}^2 - N_0 \tau_{rz}^2}} \times$$

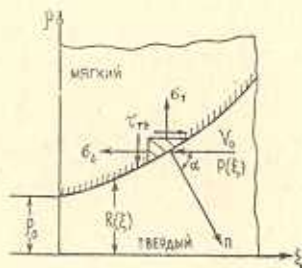
$$\begin{aligned} & \times \sqrt{(F+H)f'^2 + 2H\frac{f'f}{r} + (G+H)\frac{f^2}{r^2} + 4L\psi^2} = 0 \\ & \psi' - \frac{\psi}{r} - \frac{\lambda N_0 \tau_{r0}}{2\sqrt{1-M_0\tau_{rz}^2-N_0\tau_{r0}^2}} \sqrt{(F+H)f'^2 + 2H\frac{f'f}{r} + (G+H)\frac{f^2}{r^2} + 4L\psi^2} = 0 \end{aligned} \quad (1.9)$$

Будем отличать внутреннее и внешнее внедрение в зависимости от того жесткий элемент впрессовывается с внутренней или с внешней стороны по отношению к элементу из более мягкого материала.

**§ 2. Внутреннее ввинчивание.** Пусть в абсолютно жесткую цилиндрическую прессформу плотно помещена цилиндрическая труба из идеально-жестко-пластического анизотропного материала с внутренним и внешним радиусами  $a$  и  $b$ , соответственно, а в нее соосно впрессовывается, совершая одновременно вращательное движение вокруг своей оси с угловой скоростью  $\omega_1$ , цилиндрическая труба из значительно более твердого материала с переменным внешним радиусом  $R(z) = a + \nu u_1 \exp\left(\frac{z}{b}\right)$ , где  $\nu$  и  $u_1$  — заданные положительные постоянные (фиг. 1). Материал этой трубы считаем недеформируемым.



Фиг. 1



Фиг. 2

Цилиндрическую координатную систему закрепляем с жесткой трубой так, чтобы плоскость  $z=0$  прошла через входное торцевое сечение, а положительное направление оси  $z$  — по оси трубы, против направления движения. Полагаем, что вращение жесткой трубы происходит в сторону возрастания полярной координаты  $\theta$ . Считаем, что материал деформируемой анизотропной трубы по всей толщине в области  $z>0$  переходит в чисто пластическое состояние, а торец  $z=l$  этой трубы считаем свободным от внешних сил.

Введем обозначения:  $u_0 = \frac{u_1}{b}$ ,  $\lambda = \frac{\nu}{b}$ ,  $r_0 = \frac{a}{b}$ , безразмерные координаты  $\rho = \frac{r}{b}$ ,  $\xi = \frac{z}{b}$  и функции

$$R(z) = bR_*(\xi), \quad f(r) = b^2 f_*(\rho), \quad \psi(r) = b\psi_*(\rho)$$

где  $R_*(\xi) = r_0 + u_0 e^{\lambda \xi}$ .

После преобразования формул (1.6) — (1.7), опуская в дальнейшем знак  $*$ , для компонентов напряжений получаем

$$\begin{aligned}\sigma_r &= -2A - 2B\dot{\xi} - \int_{r_0}^r \left( Ff' - G \frac{f}{\rho} \right) \frac{\omega}{\rho} d\rho \\ \sigma_\theta &= \sigma_r - \left( Ff' - G \frac{f}{\rho} \right) \omega, \quad \sigma_z = \sigma_r - \left[ (F+H)f' + H \frac{f}{\rho} \right] \omega \\ \tau_{rz} &= 2L\psi_0, \quad \tau_{\theta\theta} = \frac{D}{\rho^2}, \quad \tau_{rz} = B\rho + \frac{E}{\rho},\end{aligned}\tag{2.1}$$

причем

$$\omega = \frac{\sqrt{1 - M_0 \tau_{rz}^2 - N_0 \tau_{\theta\theta}^2}}{\sqrt{(F+H)f'^2 + 2H \frac{f'f}{\rho} + (G+H) \frac{f^2}{\rho^2} + 4L\psi^2}}$$

Компоненты скоростей перемещений в новых обозначениях будут

$$u = \nu f(\rho) \exp(\nu\xi), \quad v = K\rho + 2\nu(\rho) \exp(\nu\xi), \quad w = -\frac{1}{\rho} (\nu f)' \exp(\nu\xi) + T\tag{2.2}$$

Здесь и в дальнейшем скорости перемещений отнесены к  $b$ .

Система дифференциальных уравнений (1.9) в новых переменных перепишется в виде

$$\begin{aligned}f'' + \frac{f'}{\rho} - \frac{1 + \nu^2 \rho^2}{\rho^2} f + \frac{\nu M_0 \tau_{rz}}{\sqrt{1 - M_0 \tau_{rz}^2 - N_0 \tau_{\theta\theta}^2}} \times \\ \times \sqrt{(F+H)f'^2 + 2H \frac{f'f}{\rho} + (G+H) \frac{f^2}{\rho^2} + 4L\psi^2} = 0 \\ \psi' - \frac{\psi}{\rho} - \frac{\nu N_0 \tau_{\theta\theta}}{2\sqrt{1 - M_0 \tau_{rz}^2 - N_0 \tau_{\theta\theta}^2}} \sqrt{(F+H)f'^2 + 2H \frac{f'f}{\rho} + (G+H) \frac{f^2}{\rho^2} + 4L\psi^2} = 0\end{aligned}\tag{2.3}$$

Исходя из допущения о недеформируемости вдавливаемой трубы и прессформы, а также принимая за нормальную скорость перемещения на поверхности  $\rho=R(\xi)$  радиальную скорость перемещения  $u(r_0, \xi)$ , для функции  $f(\rho)$  будем иметь граничные условия

$$f(r_0) = u_0 V_0 = u_*, \quad f(1) = 0\tag{2.4}$$

где  $V_0$  — скорость внедрения.

На контактной поверхности между жесткой и деформируемой трубами принимаем условие  $v = \beta V$ , где  $V = \omega_1 R$  — линейная скорость (в долях  $b$ ) точки внешней поверхности жесткой трубы,  $\beta$  — параметр,  $0 < \beta < 1$ , зависящий от скорости вращения, шероховатости поверхностей, физико-механических свойств материалов и определяемый из эксперимента. Используя принятые условия и выражение  $v$  из (2.2), находим  $K = \beta \omega_1$  и значение

$$\beta(\rho_0) = \frac{v}{2} \beta_{\omega_1 H_0} \quad (2.5)$$

Принимаем, что степени шероховатости на внутренних и внешних поверхностях в продольных и кольцевых направлениях, соответственно, заданы и равны  $m_1, -q_1$  и  $m_2, -q_2$ , причем  $m_i, q_i > 0$  и подчиняются условию  $m_i^2 + q_i^2 \leq 1$ . Используя эти граничные условия, находим

$$B = \frac{m_2 - \rho_0 m_1}{1 - \rho_0^2}, \quad E = \frac{m_1 - \rho_0 m_2}{1 - \rho_0^2} \rho_0, \quad D = -q_2 = -\rho_0^2 q_1 \quad (2.6)$$

При одинаковой шероховатости на контактных поверхностях, то есть при  $\rho = \rho_0$  и  $\xi = 1$ , степени шероховатости одинаковы по всем направлениям и равны соответственно  $m_1$  и  $m_2$ . Можно положить

$$\tau_{rl} = -\frac{m_1 v}{\sqrt{v^2 + w^2}}, \quad \tau_r = \frac{m_1 w}{\sqrt{v^2 + w^2}} \quad \text{при } \xi = \rho_0, 1$$

Полагая  $K = T = 0$  и учитывая выражения для  $\tau_{rl}$  и  $\tau_{rz}$  из (2.1), из формул (2.2) находим

$$B = \frac{1}{2(1-\rho_0^2)} \left\{ \frac{\rho_0 m_1 \left[ f'(\rho_0) + \frac{u_*}{\rho_0} \right]}{\sqrt{\psi^2(\rho_0) + \frac{1}{4} \left[ f'(\rho_0) + \frac{u_*}{\rho_0} \right]^2}} - \frac{m_2 f'(1)}{\sqrt{\psi^2(1) + \frac{1}{4} f'^2(1)}} \right\}$$

$$E = -\frac{\rho_0}{2(1-\rho_0^2)} \left\{ \frac{m_1 \left[ f'(\rho_0) + \frac{u_*}{\rho_0} \right]}{\sqrt{\psi^2(\rho_0) + \frac{1}{4} \left[ f'(\rho_0) + \frac{u_*}{\rho_0} \right]^2}} - \frac{\rho_0 m_2 f'(1)}{\sqrt{\psi^2(1) + \frac{1}{4} f'^2(1)}} \right\}$$

$$D = -\frac{m_1 \rho_0^2 \psi(\rho_0)}{\sqrt{\psi^2(\rho_0) + \frac{1}{4} \left[ f'(\rho_0) + \frac{u_*}{\rho_0} \right]^2}} = -\frac{m_2 \psi(1)}{\sqrt{\psi^2(1) + \frac{1}{4} f'^2(1)}}$$

Последнее равенство и (2.4) являются граничными условиями для системы уравнений (2.3). При отсутствии вращения  $\psi(\xi) = D = 0$  и формулы для  $B$  и  $E$  совпадают с соответствующими выражениями (2.6).

Торец деформируемой трубы  $\xi = \xi_0 = l/b$  свободен от нормальных сил, следовательно,

$$\int_{\rho_0}^{1} \sigma_z(\rho, \xi_0) \rho d\rho = 0 \quad (2.7)$$

Подставляя выражение  $\sigma_z$  из (2.1) и производя интегрирование по частям в полученному двухкратном интеграле, найдем

$$A = -B\xi_0 - \frac{1}{2(1-\rho_0^2)} \int_{\rho_0}^1 \left[ \left( 2H + F + \frac{F}{\rho^2} \right) f' + \left( 2H + G - \frac{G}{\rho^2} \right) \frac{f}{\rho} \right] \rho d\rho$$

Используя выражения компонентов скоростей перемещений, легко проверить, что условие сохранения количества масс—

$$\rho_0 \int_0^{\xi_0} u(\rho_0, \xi) d\xi = \int_{\rho_0}^1 [w(\rho, \xi_0) - u(\rho, 0)] \rho d\rho$$

выполняется тождественно.

Из условия равновесия элемента на контактной поверхности трубы  $\rho = R(\xi)$  (фиг. 2) для абсолютного значения давления по оси имеем

$$P(\xi) = -\sigma_z(\rho_0, \xi) \cos \alpha + \tau_{rz}(\rho_0) \sin \alpha$$

причем

$$\sin \alpha = \frac{1}{\sqrt{1+R'^2}}, \quad \cos \alpha = \frac{R'}{\sqrt{1+R'^2}}$$

Суммарная осевая сила, приходящаяся на эту поверхность, то есть сила впрессовывания будет

$$P = 2\pi b^2 \int_0^{\xi_0} R(\xi) \sqrt{1+R'^2(\xi)} p(\xi) d\xi \quad (2.8)$$

Подставляя выражения для  $R(\xi)$  и  $p(\xi)$  и производя интегрирование, находим

$$\begin{aligned} P/\pi b^2 = & 2\rho_0 m_1 \xi_0 + 2u_0(e^{v\xi_0} - 1)(m_1 + v\rho_0 S) + v^2 u_0^2 S(e^{2v\xi_0} - 1) + \\ & + 4B\xi_0 u_0 [1 + e^{v\xi_0}(v\xi_0 - 1)] + B(u_0^2 [1 + e^{2v\xi_0}(2v\xi_0 - 1)]) \end{aligned} \quad (2.9)$$

причем  $S = Q - 2B\xi_0$ , где

$$\begin{aligned} Q = & -\frac{1}{1-\xi_0^2} \int_{\rho_0}^1 \left[ \left( 2H + F + \frac{F}{\rho^2} \right) f' + \left( 2H + G - \frac{G}{\rho^2} \right) \frac{f}{\rho} \right] \omega \rho d\rho + \\ & + \left[ (F + H)f'(\rho_0) + H \frac{u_0}{\rho_0} \right] \omega(\rho_0) \end{aligned}$$

Разлагая в степенной ряд экспоненциальные функции, входящие в (2.9), и ограничиваясь первыми двумя членами, получим

$$P = 2\pi b^2 \xi_0 (\rho_0 + v u_0) (m_1 + v^2 u_0 Q) \quad (2.10)$$

Вращающий момент определится по формуле

$$M^* = 2\pi b^3 q_1 \int_0^{\xi_0} (\rho_0 + v u_0 e^{v\xi})^2 \sqrt{1+v^4 u_0^2 e^{2v\xi}} d\xi \quad (2.11)$$

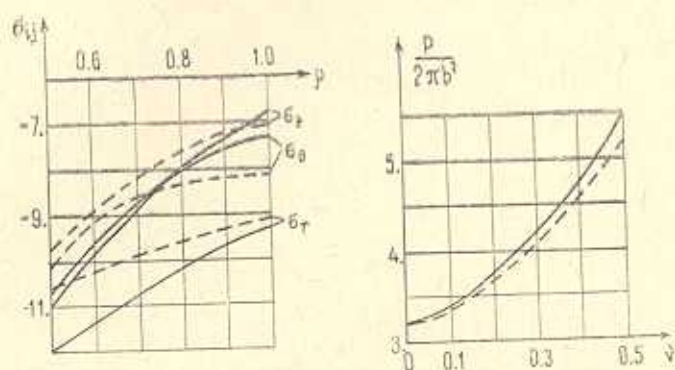
Получено численное решение системы дифференциальных уравнений (2.3) с краевыми условиями (2.4), (2.5), при следующих значениях параметров:

$$v=0,2; \xi=0; \xi_0=8; V_0=1; u_0=0,25; \rho_0=0,5; m_1=0,8; m_2=0,1; q_1=0,5$$

$$q_1=0,125; \beta=0,5; \omega_1=1; F/M=5; G/M=2; H/M=0,5; I/M=1,5; N/M=2,5$$

На основании численных расчетов, выполненных на ЭВМ ЕС-1022, по формулам (2.1), (2.10) на фиг. 3 построены графики напряжений и силы впрессовывания. Для сравнения пунктирной линией показан график напряжений и силы впрессовывания для изотропной трубы. Как видно из графиков, анизотропия существенно влияет на напряженное состояние и на величину силы впрессовывания.

1. При весьма малых значениях  $\nu$  в системе уравнений (2.3), принимая  $\nu=0$ , приходим к двум отдельным дифференциальным уравнениям



Фиг. 3

$$f'' + \frac{f'}{\rho} - \frac{f}{\rho^2} = 0, \quad \psi' - \frac{\psi}{\rho} = 0 \quad (2.12)$$

решения которых при краевых условиях (2.4) и (2.5) соответственно будут

$$f = \frac{\rho_0 \mu_*}{1 - \rho_0^2} \left( \frac{1}{\rho} - \rho \right), \quad \psi = \frac{\nu}{2} \beta \omega_1 \mu_0 \frac{\rho}{\rho_0} \quad (2.13)$$

Подставляя (2.13) в формулы напряжений (2.1), получим

$$\begin{aligned} \sigma_r &= -\frac{2(\rho_0 m_1 - m_2)}{1 - \rho_0^2} (\tilde{\xi}_0 - \tilde{\xi}) - \frac{1}{1 - \rho_0^2} \int_{\rho_0}^1 \left[ F + G + 4H + \frac{2(F - G)}{\rho^2} + \right. \\ &\quad \left. + \frac{F + G}{\rho^4} \right] \omega_0 \rho d\rho + \int_{\rho_0}^{\rho} \left( F - G + \frac{F + G}{\rho^2} \right) \frac{\omega_0}{\rho} d\rho, \quad \tau_0 = \sigma_r + \left( F - G + \frac{F + G}{\rho^2} \right) \omega_0 \\ \sigma_z &= \sigma_r + \left( F + 2H + \frac{F}{\rho^2} \right) \omega_0, \quad \tau_{rz} = \frac{m_1 - \omega_0 m_2}{1 - \rho_0^2} \frac{\rho_0}{\rho} - \frac{\rho_0 m_1 - m_2}{1 - \rho_0^2} \rho \end{aligned} \quad (2.14)$$

$$\omega_0 = \sqrt{\frac{1 - M_0 \tau_{rz}^2 - N_0 \tau_{rz}^2}{F + G + 4H + (F - G) \frac{2}{\rho^2} + \frac{F+G}{\rho^4} + L \alpha^2 \rho^2}}, \quad \tau_{rz} = -q_1 \frac{\rho_0^2}{\rho^2}, \quad \tau_{rz} = L \alpha \rho \omega_0$$

$$\alpha = \nu \beta \omega_1 \left( \frac{1}{\rho_0^2} - 1 \right)$$

Скорости перемещений согласно (2.2) будут

$$u = \frac{\nu \omega_0 \rho_*}{1 - \rho_*^2} \left( \frac{1}{\rho} - \rho \right) e^{i\xi}, \quad v = \nu \omega_1 \rho \left( 1 + \frac{\rho_*}{\rho_0} e^{i\xi} \right)$$

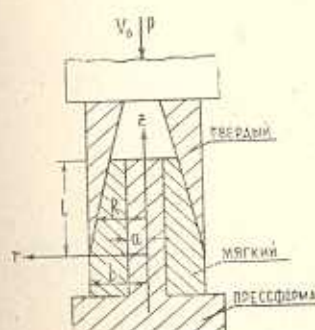
$$w = \frac{2 \omega_* \rho_0}{1 - \rho_*^2} e^{i\xi} + T \quad (2.15)$$

Сила впрессовывания и момент вращения определяются по (2.9) и (2.11), причем значение  $Q$  определится по формуле

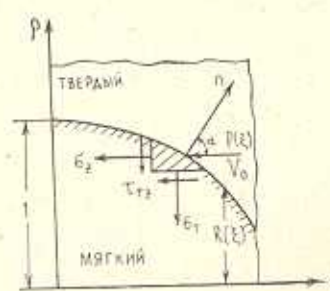
$$Q = - \frac{F + (F + 2H) \rho_0^2}{\rho_0^2} \omega_0(\rho_0) + \frac{1}{1 - \rho_0^2} \int_{\rho_0}^1 \left[ F + G + 4H + \frac{2(F - G)}{\rho^2} + \frac{F + G}{\rho^4} \right] \omega_0 d\rho$$

**§ 3. Внешнее ввинчивание.** Пусть теперь цилиндрическая труба с внутренним и внешним радиусами  $a$  и  $b$ , соответственно, из идеально-жестко-пластического ортотропного материала плотно наскажена на недеформируемую трубу (прессформа), на которую с наружной стороны соосно впрессовывается, одновременно вращаясь вокруг своей оси в положительном направлении с угловой скоростью  $\omega_1$ , труба из значительно более твердого материала с внутренним, монотонно возрастающим по оси трубы относительным радиусом  $R = 1 - \nu \omega_0 \exp(i\xi)$ . Материал этой трубы считаем абсолютно жестким, а координатную систему закрепляем с ней как в случае внутреннего внедрения (фиг. 4). Принимаем, что деформируемая труба по всей толщине при  $z > 0$  переходит в чисто пластическое состояние.

Заменяя в выражениях (2.1) — (2.2) знаки функции  $f(z)$  и  $\psi(\rho)$ , для компонентов напряжений получим



Фиг. 4



Фиг. 5

$$\begin{aligned}\sigma_r &= -2A - 2B\xi + \int_{\xi_0}^{\xi} \left( Ff' - G \frac{f}{\rho} \right) \frac{d\rho}{\rho} \\ \sigma_t &= \sigma_r + \left( Ff' - G \frac{f}{\rho} \right) \omega, \quad \sigma_z = \sigma_r + \left[ (F+H)f' + H \frac{f}{\rho} \right] \omega\end{aligned}\quad (3.1)$$

$$\tau_{tz} = -2L\dot{\psi}\omega, \quad \tau_{rz} = \frac{D}{\rho^2}, \quad \tau_{rz} = B\rho + \frac{E}{\rho}$$

причем

$$\omega = \frac{\sqrt{1 - M_0 \zeta_{rz}^2 - N_0 \zeta_{rz}^2}}{\sqrt{(F+H)f'^2 + 2H \frac{f'f}{\rho} + (G+H) \frac{f^2}{\rho^2} + 4L\dot{\psi}^2}}$$

Соответственно, для компонентов скоростей перемещений (в долях  $b$ ) будем иметь

$$u = -v f(\rho) e^{i\zeta}, \quad v = K\rho - 2\dot{\psi}(\rho) e^{i\zeta}, \quad w = \frac{1}{\rho} (\rho f)' e^{i\zeta} + T \quad (3.2)$$

Система дифференциальных уравнений (2.3) примет вид

$$\begin{aligned}f'' + \frac{f'}{\rho} - \frac{1 + \zeta^2 \rho^2}{\rho^2} f - \frac{\zeta \zeta_{rz} M_0}{\sqrt{1 - M_0 \zeta_{rz}^2 - N_0 \zeta_{rz}^2}} \times \\ \times \sqrt{(F+H)f'^2 + 2H \frac{f'f}{\rho} + (G+H) \frac{f^2}{\rho^2} + 4L\dot{\psi}^2} = 0\end{aligned}\quad (3.3)$$

$$\dot{\psi}' - \frac{\dot{\psi}}{\rho} + \frac{\zeta N_0 \zeta_{rz}}{2\sqrt{1 - M_0 \zeta_{rz}^2 - N_0 \zeta_{rz}^2}} \sqrt{(F+H)f'^2 + 2H \frac{f'f}{\rho} + (G+H) \frac{f^2}{\rho^2} + 4L\dot{\psi}^2} = 0$$

Исходя из допущения о недеформируемости вдавливаемой трубы и прессформы, а также из того, что нормальная скорость перемещения на поверхности  $\rho=R(\xi)$  заменяется радиальной  $u(1, \xi)$ , для функции  $f(\rho)$  имеем граничные условия

$$f(\rho_0) = 0, \quad f(1) = u_0 V_0 = u_* \quad (3.4)$$

Далее на контактной поверхности  $\rho=1$  принимаем условие  $v=\beta V$ , где  $V=\omega_1 R$  — линейная скорость точки внутренней поверхности жесткой трубы, находим  $K=\beta\omega_1$  и значение

$$\dot{\psi}(1) = \frac{\beta}{2} \omega_1 u_0 \quad (3.5)$$

Граничные значения  $\tau_{rz}$  и  $\tau_{rz}$  на внутреннем и на внешнем поверхностях в продольном и в кольцевом направлениях считаем известными  $-m_1, q_1$  и  $-m_2, q_2$ , соответственно, где  $m_i, q_i > 0$  и очевидно  $m_i^2 + q_i^2 \leq 1$ .

Используя эти граничные условия, находим

$$B = \frac{\rho_0 m_1 - m_2}{1 - \rho_0^2}, \quad E = \frac{\rho_0 m_2 - m_1}{1 - \rho_0^2} \rho_0, \quad D = q_2 = q_1 \rho_0^2 \quad (3.6)$$

Из статического условия (2.7) определяем

$$A = -B\dot{\xi}_0 + \frac{1}{2(1-\rho_0^2)} \int_{\rho_0}^1 \left[ \left( 2H + F + \frac{F}{\rho^2} \right) f' + \left( 2H + G - \frac{G}{\rho^2} \right) \frac{f}{\rho} \right] \omega \rho d\rho$$

Легко убедиться, что условие сохранения количества масс удовлетворяется тождественно.

Из условия равновесия элемента вблизи контактной поверхности  $\rho=R(\xi)$  (фиг. 5) для абсолютного значения осевого давления получим

$$P(\xi) = -\sigma_x(1, \xi) \cos \alpha - \tau_{xz}(1) \sin \alpha \quad (3.7)$$

причем

$$\sin \alpha = \frac{1}{\sqrt{1+R'^2}}, \quad \cos \alpha = -\frac{R'}{\sqrt{1+R'^2}}$$

Сила впрессовывания определяется по формуле (2.8), где следует положить  $R=1-\nu u_0 e^{\nu \xi}$ , а значение  $P(\xi)$  — согласно (3.7). Находим

$$P/\pi b^2 = 2\xi_0 m_2 + 2u_0(e^{\nu \xi_0} - 1)(S - m_2) - \nu^2 u_0^2 S(e^{2\nu \xi_0} - 1) + \\ + 4Bu_0[1 + e^{\nu \xi_0}(2\xi_0 - 1)] - B\nu u_0^2[1 + e^{2\nu \xi_0}(2\xi_0 - 1)] \quad (3.8)$$

где  $S = Q - 2B\xi_0$ , причем

$$Q = \frac{1}{2(1-\rho_0^2)} \int_{\rho_0}^1 \left[ \left( 2H + F + \frac{F}{\rho^2} \right) f' + \left( 2H + G - \frac{G}{\rho^2} \right) \frac{f}{\rho} \right] \omega \rho d\rho - \\ - \int_{\rho_0}^1 \left( F f' - G \frac{f}{\rho} \right) \frac{\omega}{\rho} d\rho - [(F + H)f'(1) + Hu_0]\omega(1)$$

Разлагая в степенной ряд экспоненциальные функции и ограничиваясь первыми двумя членами, получим

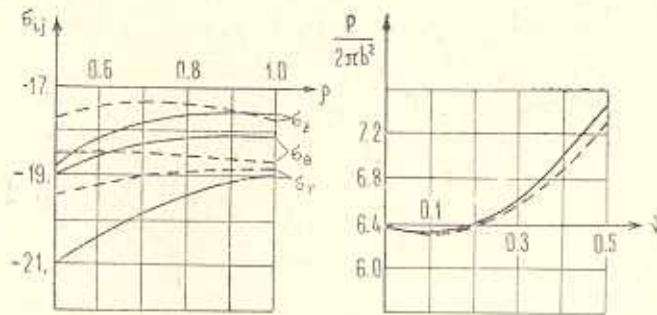
$$P/\pi b^2 = 2\xi_0(1 - \nu u_0)(m_2 + \nu^2 u_0 Q) \quad (3.9)$$

Вращающий момент будет

$$M^* = 2\pi b^3 q_2 \int_0^{\xi_0} (1 - \nu u_0 e^{\nu \xi})^2 \sqrt{1 + \nu^4 u_0^2 e^{2\nu \xi}} d\xi$$

1. При весьма малых значениях  $\nu$  система (3.3) сводится к дифференциальным уравнениям (2.12), решения которых при граничных условиях (3.4) и (3.5) будут

$$f = \frac{\rho_0 u_0}{1 - \rho_0^2} \left( \frac{\rho}{\rho_0} - \frac{\rho_0}{\rho} \right), \quad \psi = \frac{\nu}{2} \beta \omega_1 u_0 \rho$$



Фиг. 6

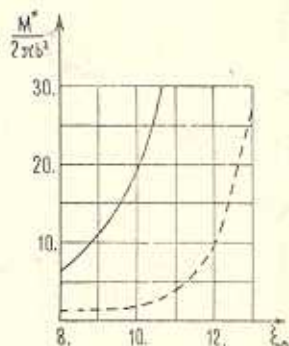
Формулы напряжений (3.1) примут вид

$$\begin{aligned}\sigma_r &= -\frac{2(m_2 - \rho_0 m_1)}{1 - \rho_0^2} (\xi_0 - \xi) - \frac{1}{2(1 - \rho_0^2)} \int_{\rho_0}^1 \left[ F + G + 4H + (F - G) \frac{1 + \rho^2}{\rho^2} + \right. \\ &\quad \left. + (F + G) \frac{\rho_0^2}{\rho^4} \right] \omega_0 d\rho + \int_{\rho_0}^1 \left[ F - G + (F + G) \frac{\rho_0^2}{\rho^2} \right] \frac{\omega_0}{\rho} d\rho \\ z_0 &= \sigma_r + \left[ F - G + (F + G) \frac{\rho_0^2}{\rho^2} \right] w_0, \quad \sigma_x = \sigma_r + \left[ F + 2H + F \frac{\rho_0^2}{\rho^2} \right] w_0 \\ z_{rx} &= \frac{\rho_0 m_2 - m_1}{1 - \rho_0^2} \frac{\rho_0}{\rho} - \frac{m_2 - \rho_0 m_1}{1 - \rho_0^2} \rho, \quad z_{r0} = q_1 \frac{\rho_0^2}{\rho^2} \\ \tau_{rx} &= -L x w_0, \quad x = \sqrt{\beta} \omega_1 (1 - \rho_0^2)\end{aligned}$$

где

$$w_0 = \frac{\sqrt{1 - M_0 z_{rx}^2 - N_0 z_{r0}^2}}{\sqrt{F + G + 4H + 2(F - G) \frac{\rho_0^2}{\rho^2} + (F + G) \frac{\rho_0^4}{\rho^4} + Lx^2 \rho^2}}$$

Скорости перемещений, соответственно, будут



Фиг. 7

$$\begin{aligned}u_0 &= -\frac{\gamma u_* \rho_0}{1 - \rho_0^2} \left( \frac{\rho}{\rho_0} - \frac{\rho_0}{\rho} \right) \exp(\gamma \xi) \\ v &= \beta \omega_1 \rho (1 + \gamma u_* \exp(\gamma \xi)), \quad w = \frac{2 u_*}{1 - \rho_0^2} \exp(\gamma \xi) + T\end{aligned}$$

Сила впрессовывания определяется по формуле (3.9), причем

$$\begin{aligned}Q &= \frac{1}{2(1 - \rho_0^2)} \int_{\rho_0}^1 \left[ F + G + 4H + (F - G) \frac{1 + \rho^2}{\rho^2} + \right. \\ &\quad \left. + (F + G) \frac{\rho_0^2}{\rho^4} \right] \omega_0 d\rho - \int_{\rho_0}^1 \left[ F - G + (F + G) \frac{\rho_0^2}{\rho^2} \right] \frac{\omega_0}{\rho} d\rho -\end{aligned}$$

$$-\frac{[2H+F(1+q_0^2)]\sqrt{1-M_0m_2^2-N_0q_2^2}}{\sqrt{F+G+4H+2(F-G)q_0^2+(F+G)q_0^4+Lx^2}}$$

Численное решение системы дифференциальных уравнений (3.3) с краевыми условиями (3.4), (3.5) получено при следующих значениях параметров

$$\nu=0,2; \xi=0; \xi_0=8; V_0=1; u_0=0,25; q_0=0,5; m_1=0,1; m_2=0,8; q_1=0,5; q_2=0,125; \beta=0,5; \omega_1=1; F/M=5; G/M=2; H/M=0,5; L/M=1,5; N/M=2,5.$$

На основании численных расчетов, выполненных на ЭВМ ЕС-1022, по формулам (3.1) и (3.9) построены графики напряжений и силы впрессовывания (фиг. 6). Для сравнения пунктирной линией показан график напряжений и силы впрессовывания для изотропной трубы. Из графиков видно влияние анизотропии на напряженное состояние и силу впрессовывания. На фиг. 7 показан график изменения крутящего момента  $M^*$  в зависимости от глубины внедрения  $\xi_0$  в случае внутреннего (сплошная линия) и внешнего внедрения (пунктирная линия).

## ԿՈՇՏ ԳԼՈՒԽԱՅԻՆ ՄԱՐՄԻՆԻ ԵՆԵՐՊՏՏՈՒՏԱԿՈՒՄԸ

Ա. Գ. ՀԱԿՈԲՅԱՆ

Ա. Ժ Փ Ո Փ Ո Վ Ա

Դիտարկվում է սեփական առանցքի շուրջը պտտումով կոշտ գլանային մարմնի ներդրումը անիզոտրոպ իդեալական-կոշտ-պլաստիկ խողովակի մեջ, որի նյութը ևնթարկվում է Միզեսի-Հիլի հոսունության պայմանին: Լուծման ժամանակակից դիֆորմացիաների արագությունների տեսնորդը փոմեցիա է, շառավղային և երկայնական կոորդինատներից: Ստացված են գլանային անիզոտրոպ խողովակի մեջ առաջացած լարումները, ներդրման ուժը և պտտող մոմենտը որոշող արտահայտություններ: Գիտարկված է արտաքին և ներքին ներդրումը: Բերված են թվային օրինակներ:

## THE SCREW DISPLACEMENT OF A RIGID CYLINDRICAL BODY IN A PLASTIC ANISOTROPIC PIPE

A. G. HACOBIAN

Summary

The penetration of a rigid cylindrical body with simultaneous rotation around its axis in an anisotropic ideal rigid plastic pipe is considered, the material of which obeys the Mises-Hill flow criterion. In the

solution the tensor of speed strain is a function of radial and longitudinal coordinates. We have obtained relations which determine the stress appearing in a cylindrical anisotropic pipe as well as the penetration force and the rotating moment. Internal and external penetration are considered. A numerical example is presented.

#### ЛИТЕРАТУРА

1. Хилл Р. Математическая теория пластичности. М.: Гостехиздат, 1956. 408 с.
2. Шоршоров М. Х., Колесниченко В. А., Алексин В. П. Клинопрессовая сварка давлением разнородных материалов. М.: Металлургия, 1982. 112 с.

Институт механики  
АН Армянской ССР

Поступила в редакцию  
1.IV.1985